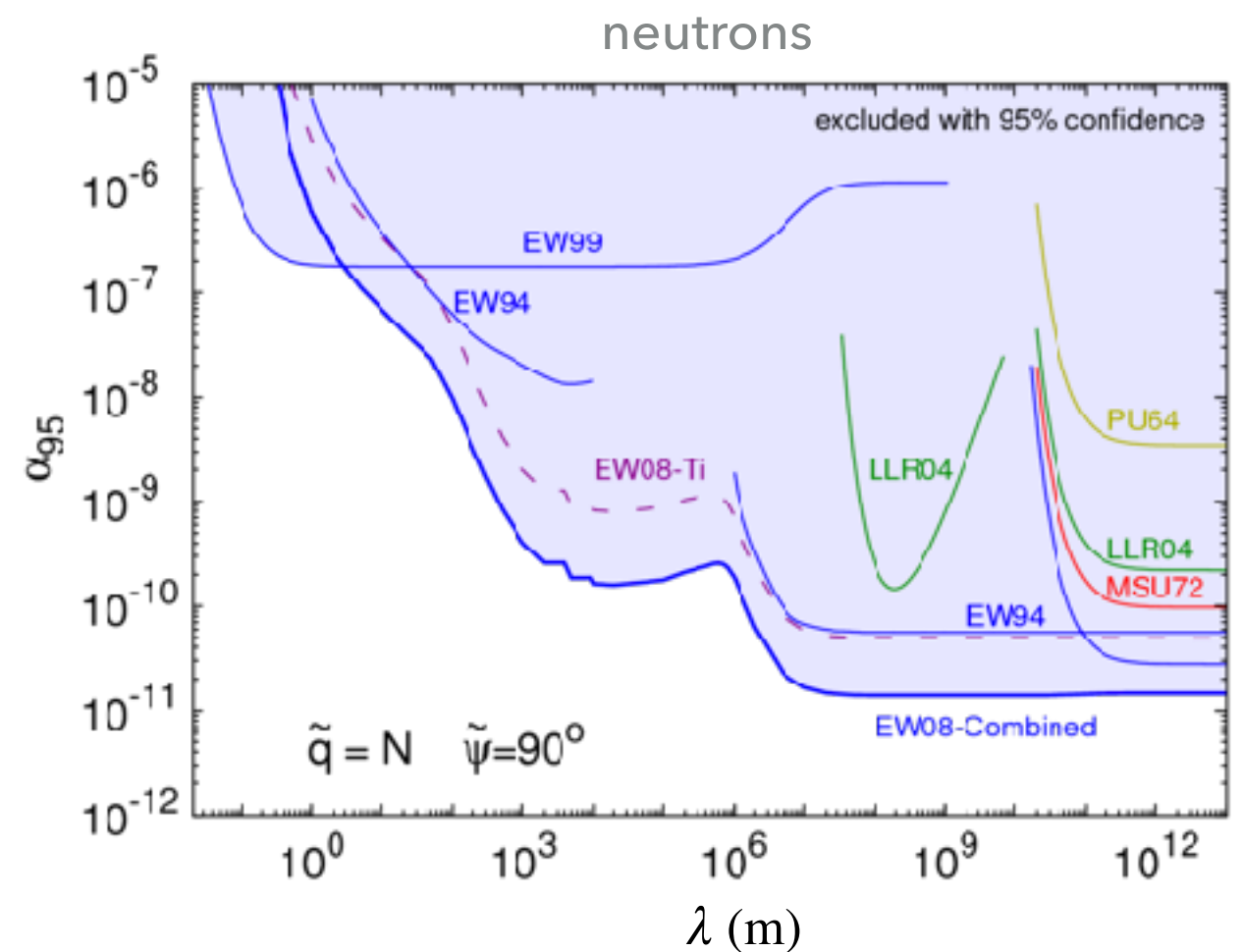
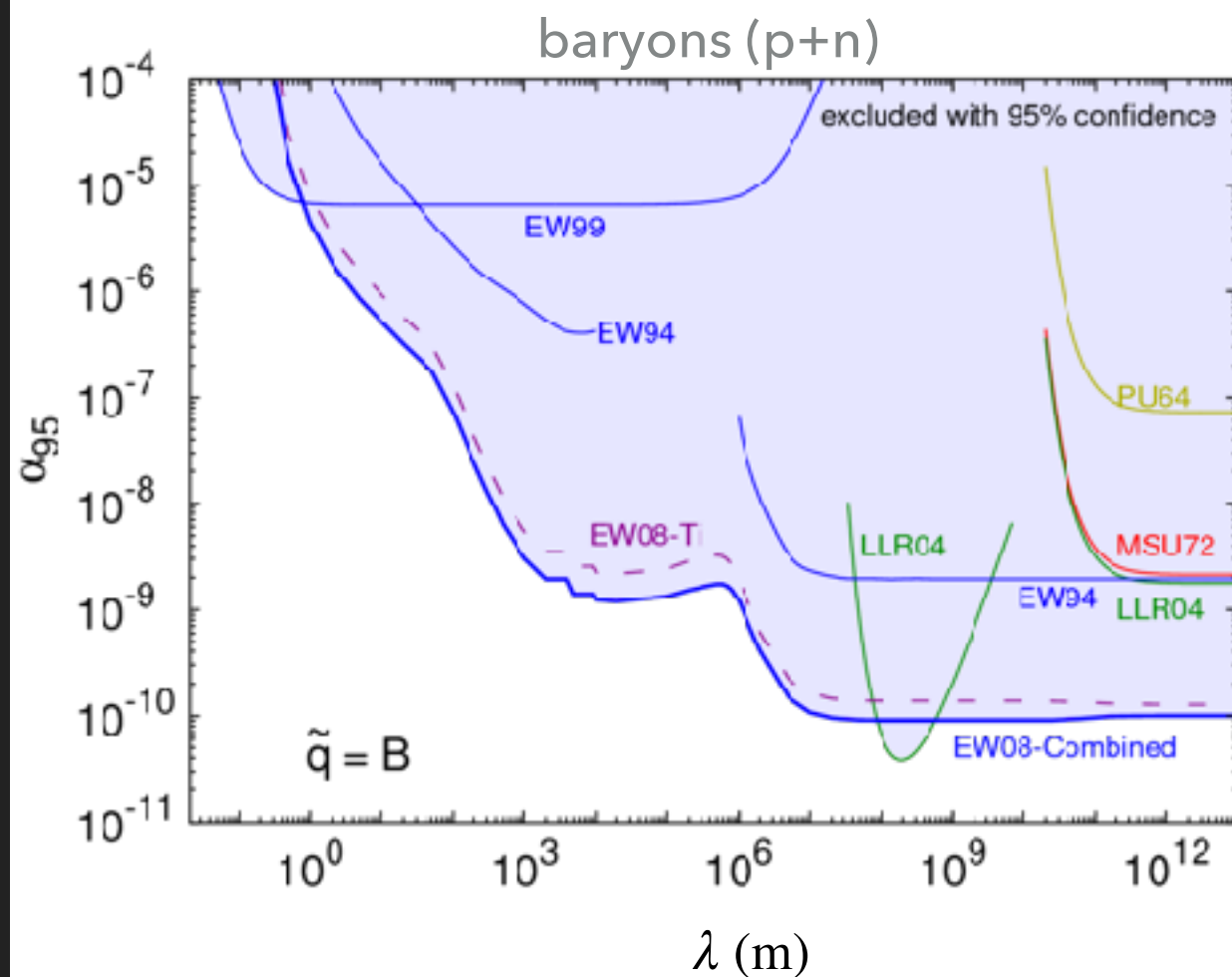


LENTEs GRAVITACIONAIS

SÓ TESTAMOS A GRAVIDADE EM ESCALAS “HUMANAS”:

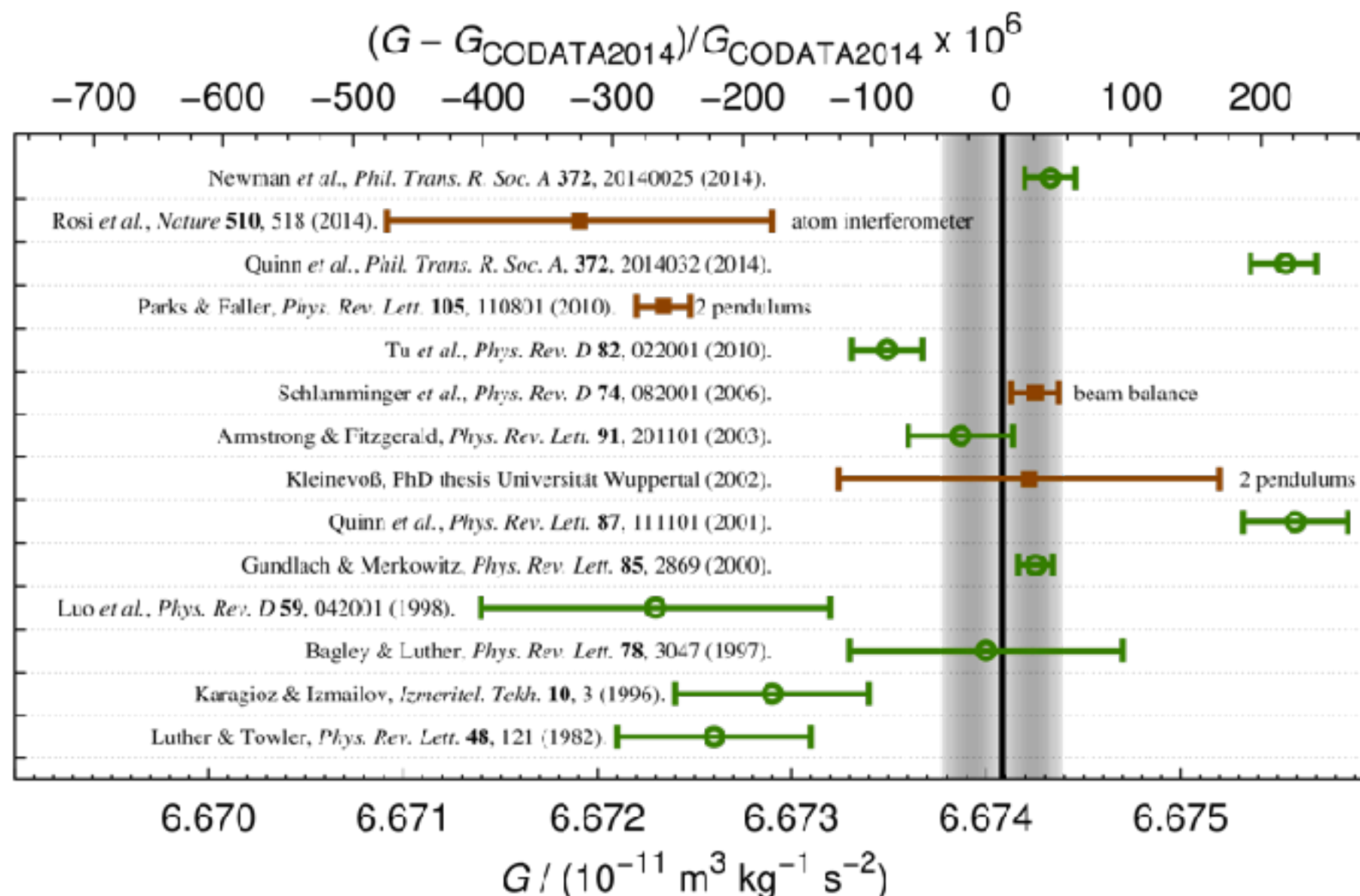
► Schlamminger et al. 2008

$$\tilde{V}_{12}(r) = -\tilde{\alpha} \frac{\tilde{q}_1}{\mu_1} \frac{\tilde{q}_2}{\mu_2} V_N(r) e^{-r/\lambda}$$



SÓ TESTAMOS A GRAVIDADE EM ESCALAS “HUMANAS”:

► Schlamminger et al. 2008: testes de G



COMO PODEMOS ALTERAR A FORÇA DA GRAVIDADE?

- ▶ Potencial gravitacional generalizado

$$\Psi = -\frac{GM}{r} (1 + \beta e^{-mr})$$

$$ds^2 = a^2 [(1 + 2\Psi)d\eta^2 - (1 + 2\Phi)d\vec{x}^2]$$

- ▶ Rel. Geral + ausência de estresse anisotrópico: $\Psi \rightarrow -\Phi$
- ▶ m, β dependem do tempo, espaço, densidade, tipo de matéria...

COMO PODEMOS ALTERAR A FORÇA DA GRAVIDADE?

- ▶ Em geral, teorias covariantes + homog. e isotropia: potenciais Ψ e Φ .
- ▶ Fenomenologia dos modelos de gravidade modificada: lentes (eq. geodésica), Eq. Poisson
- ▶ Podemos descrever qualquer modelo de gravidade em termos de dois parâmetros fenomenológicos:

$$\eta_{MG} = -\frac{\Phi}{\Psi}$$

$$Y_{MG} = \frac{\nabla^2 \Psi_{MG}}{\nabla^2 \Psi_{GR}}$$

$$\nabla^2 \Psi_{MG} = 4\pi G Y_{MG} \rho_m \delta_m$$

COMO PODEMOS ALTERAR A FORÇA DA GRAVIDADE?

► Modelos $f(R)$:

$$Y_f(k, a) = \alpha_{cham} \frac{1 + 4m \frac{k^2}{a^2 R}}{1 + 3m \frac{k^2}{a^2 R}}$$

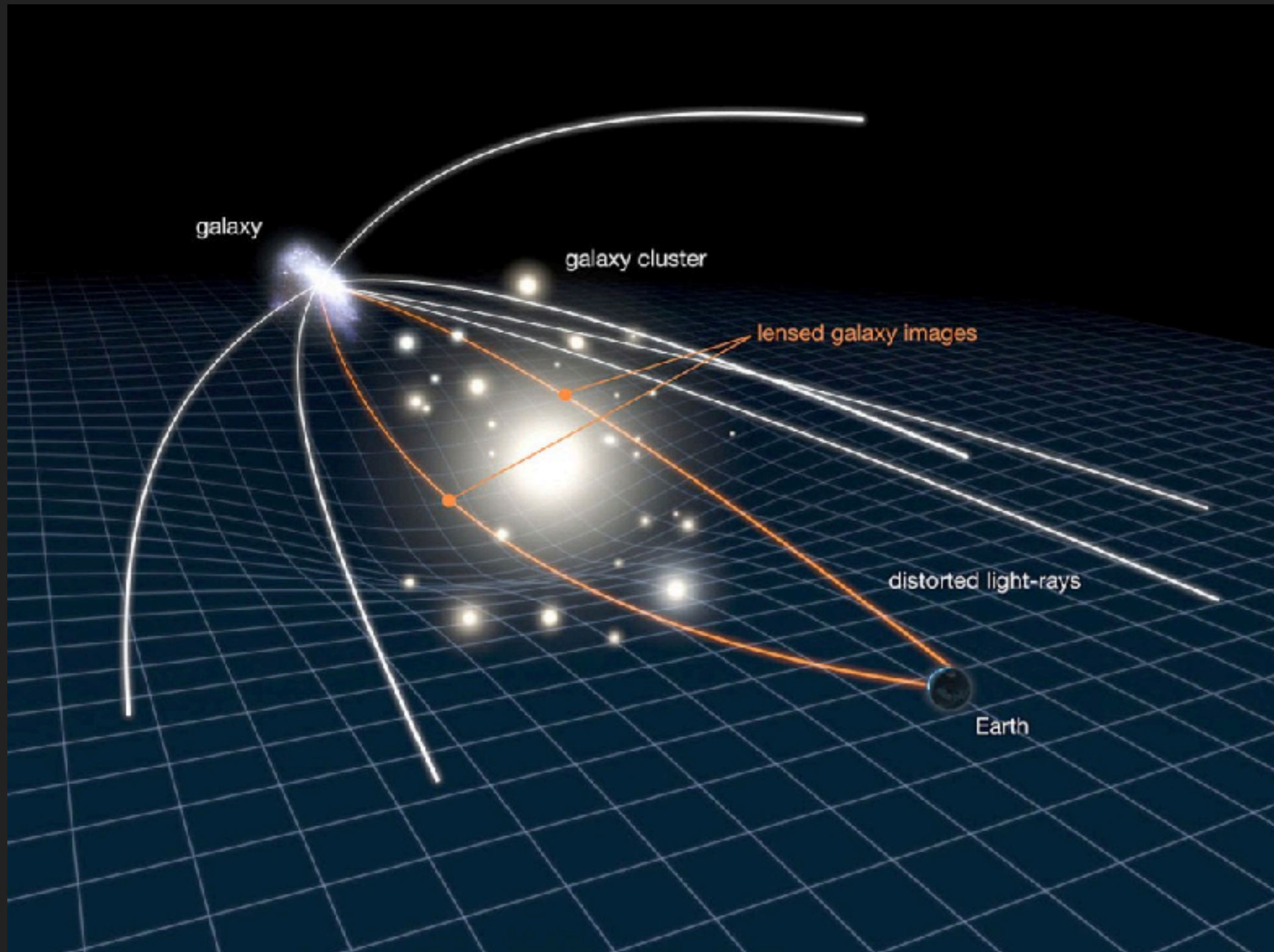
$$\eta_f(k, a) = 1 + \frac{m \frac{k^2}{a^2 R}}{1 + 2m \frac{k^2}{a^2 R}}$$

► Modelos tipo Horndeski:

$$Y_H(k, a) = h_1 \frac{1 + k^2 h_5}{1 + k^2 h_3}$$

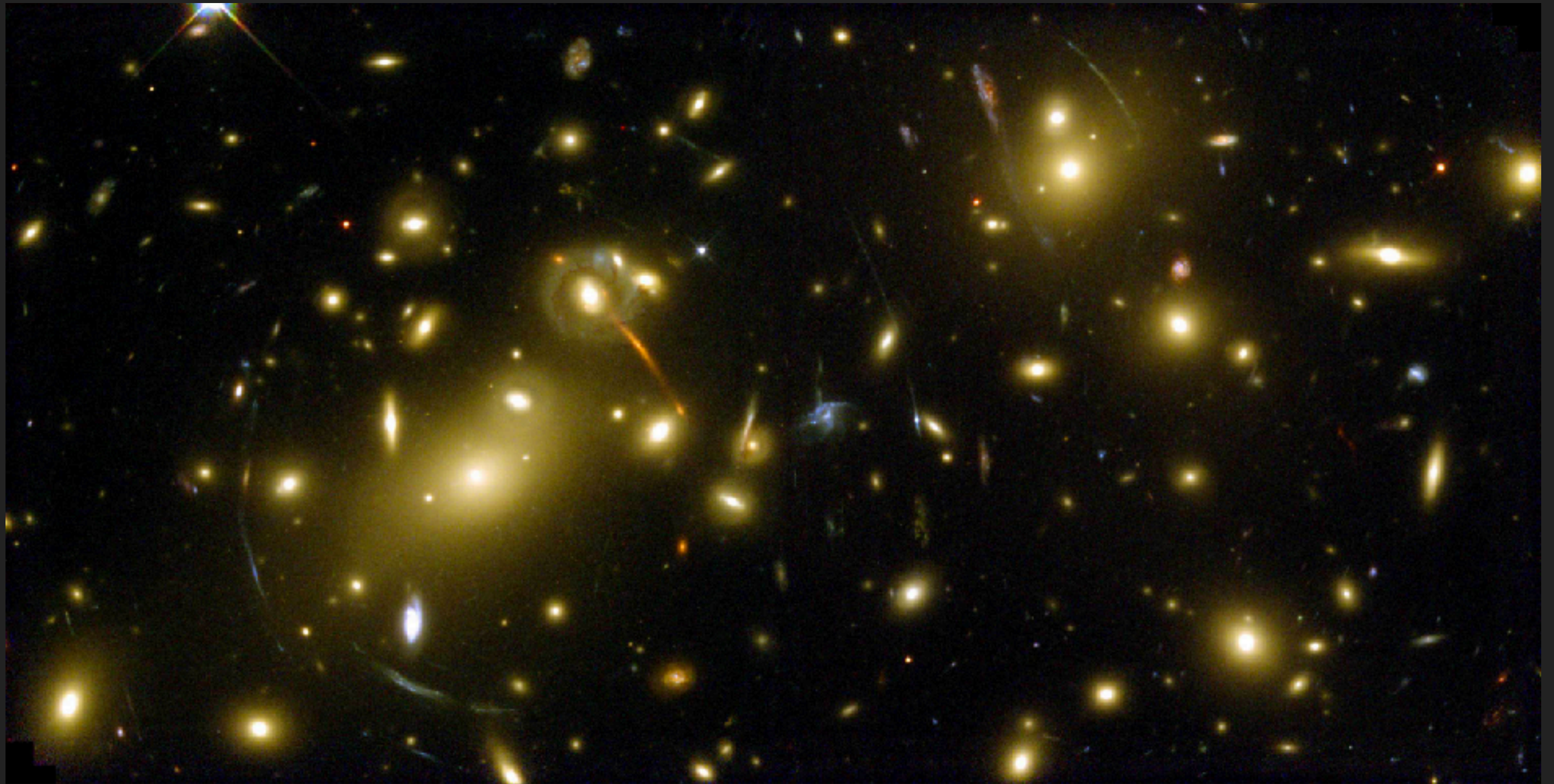
$$\eta_H(k, a) = h_2 \frac{1 + k^2 h_4}{1 + k^2 h_5}$$

INTRODUÇÃO: LENTES GRAVITACIONAIS



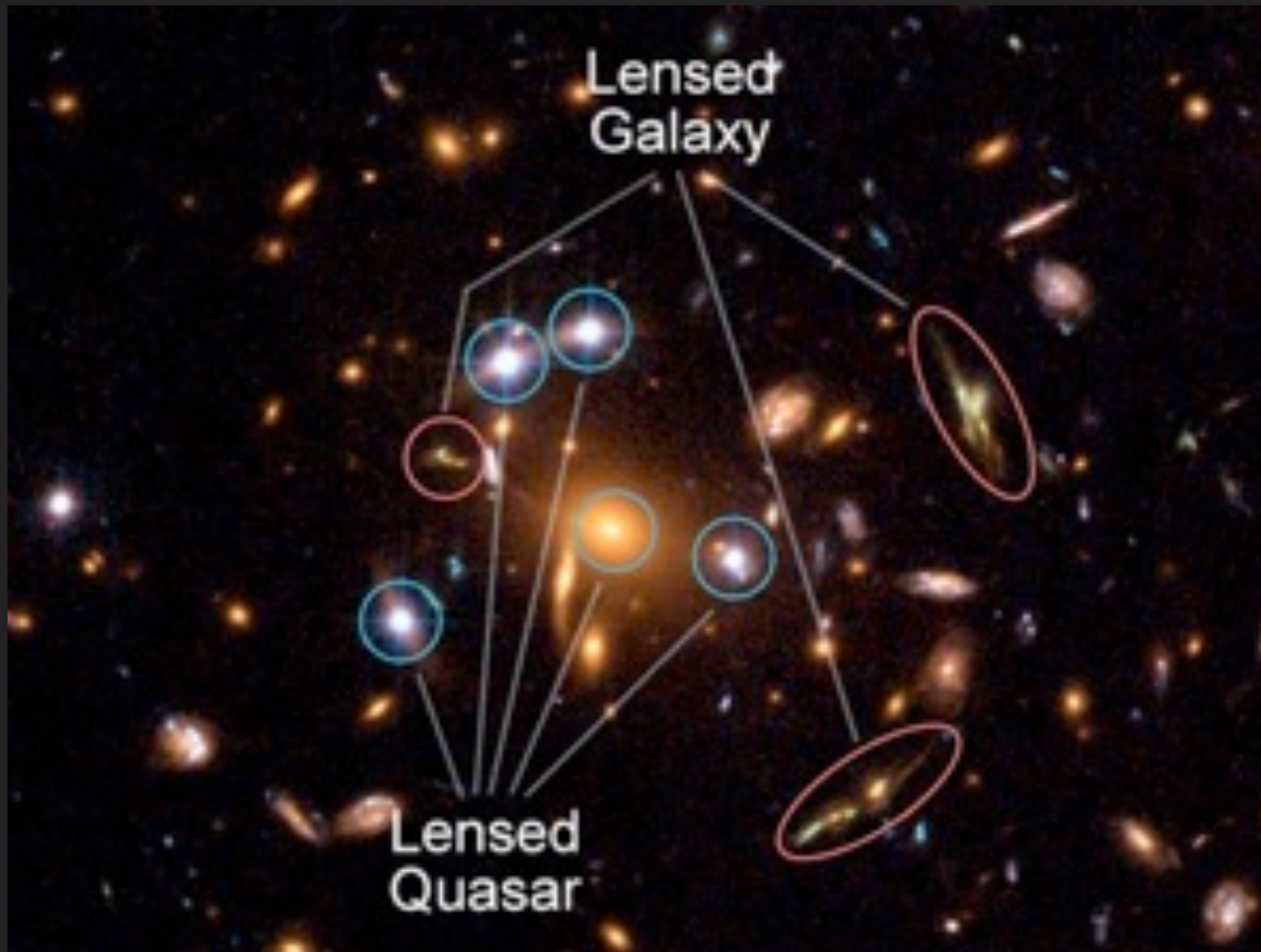
INTRODUÇÃO

- ▶ Na vida real: Abell 2218



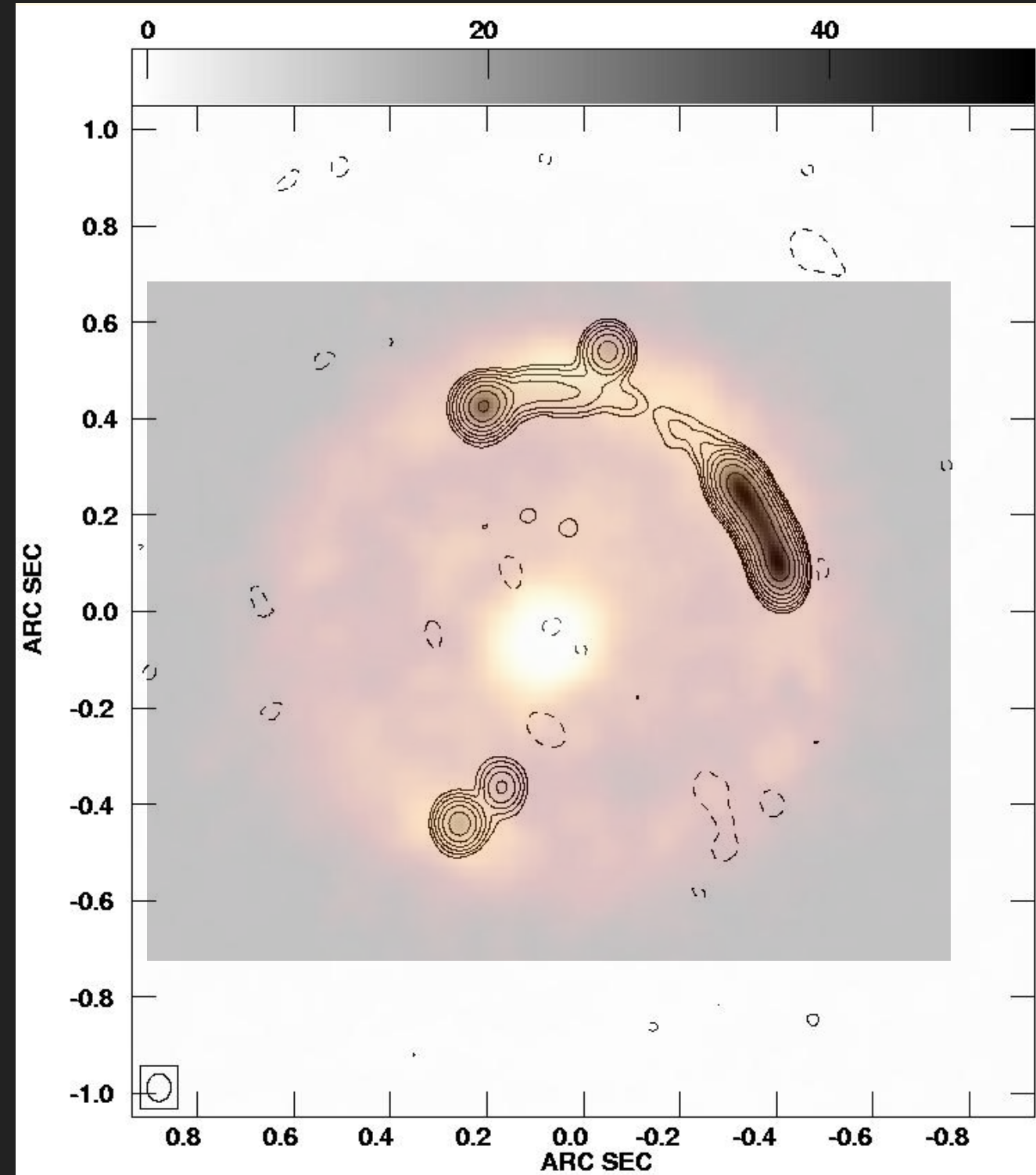
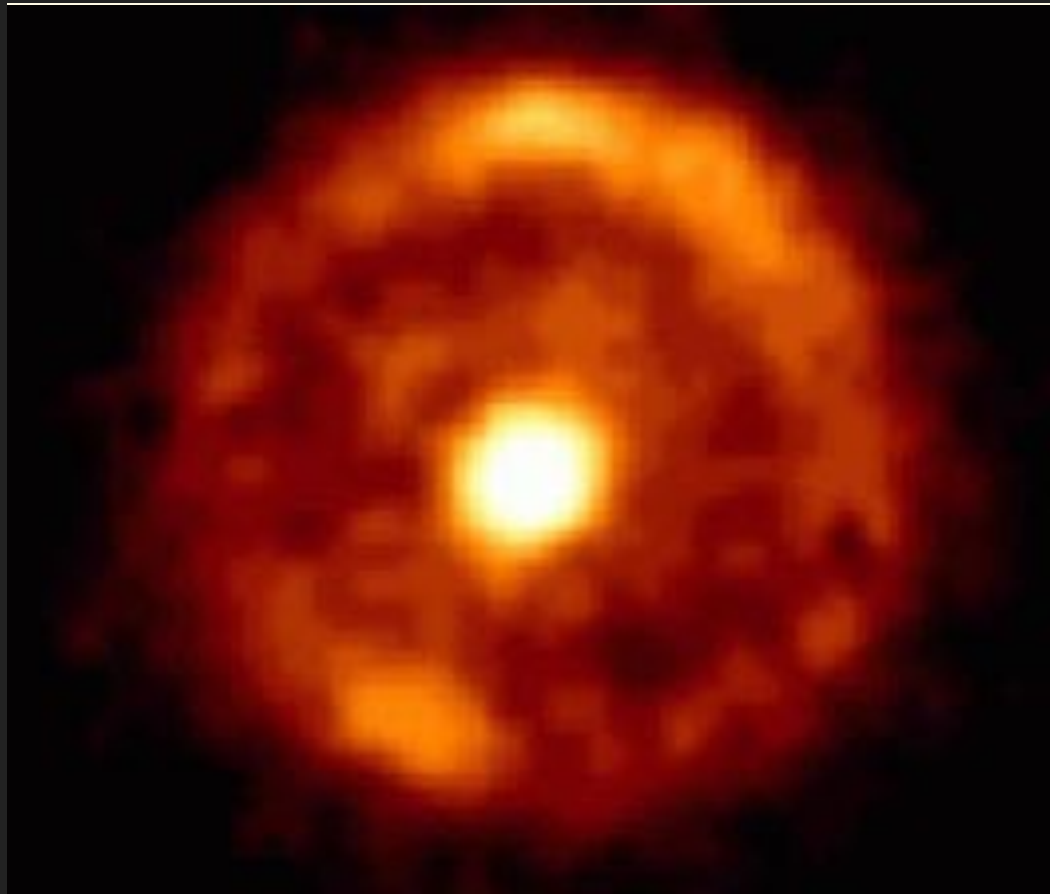
INTRODUÇÃO

- ▶ Na vida real: Abell 2218



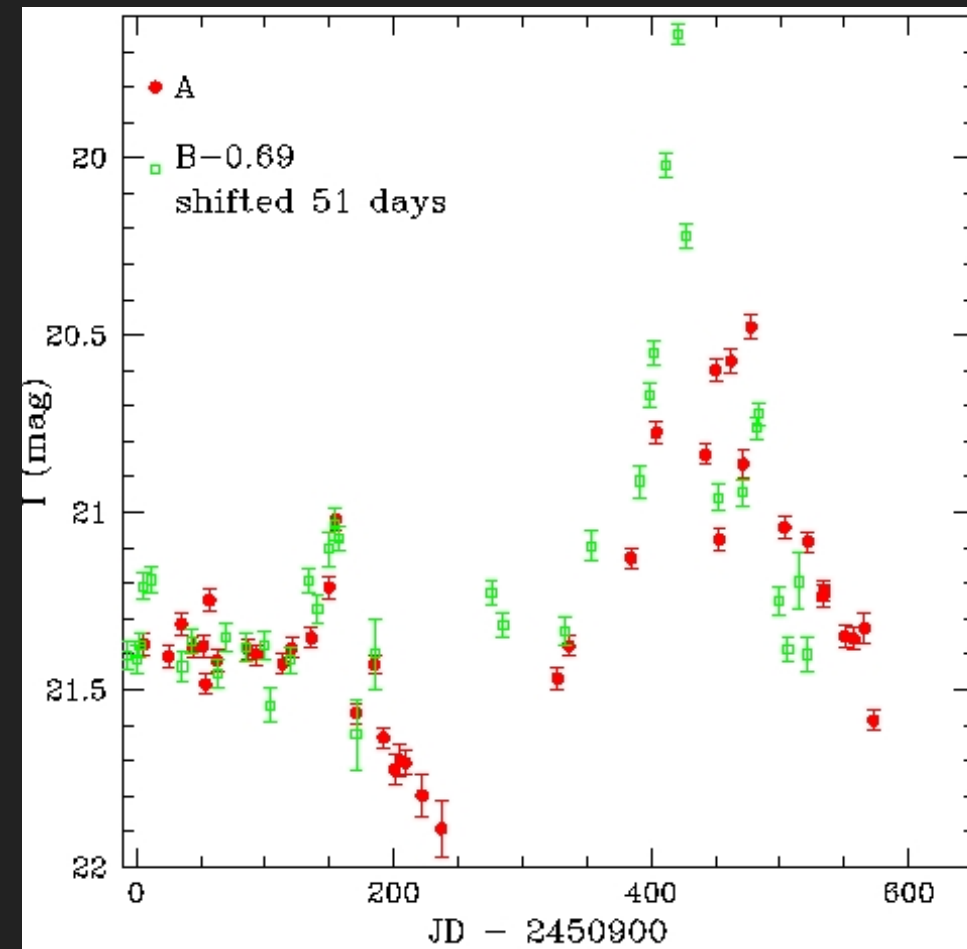
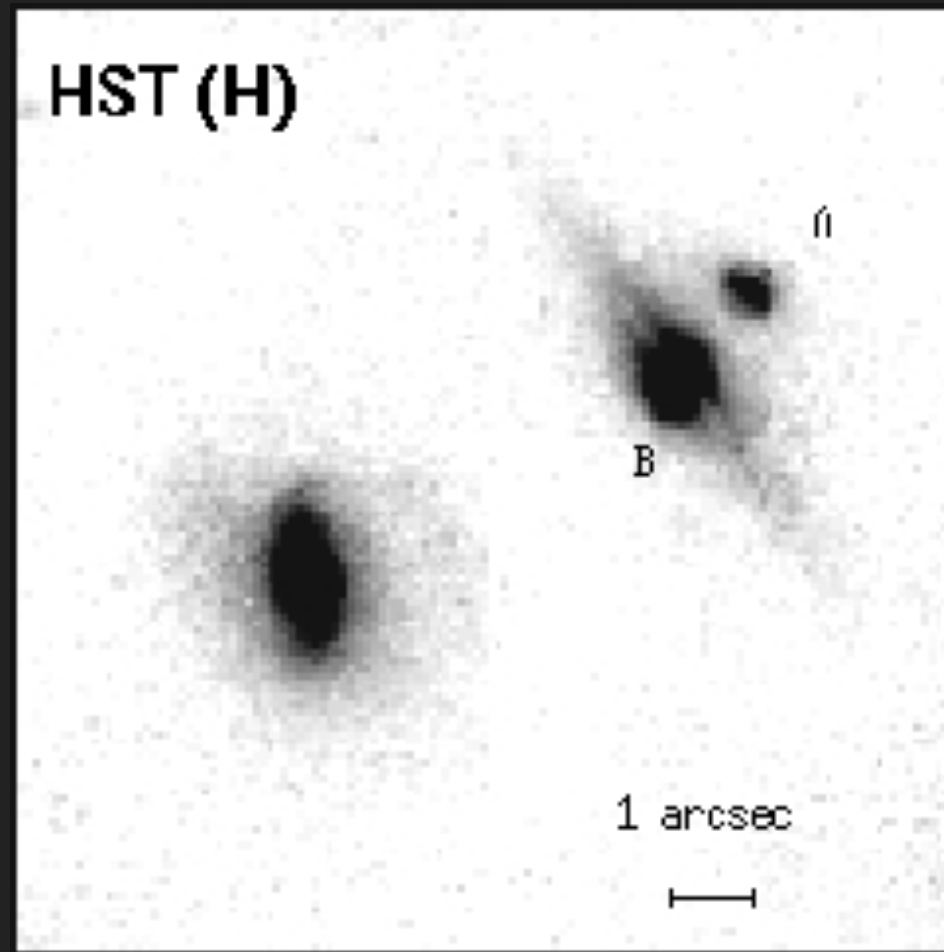
INTRODUÇÃO

- ▶ Na vida real: B1938+666 (IR)



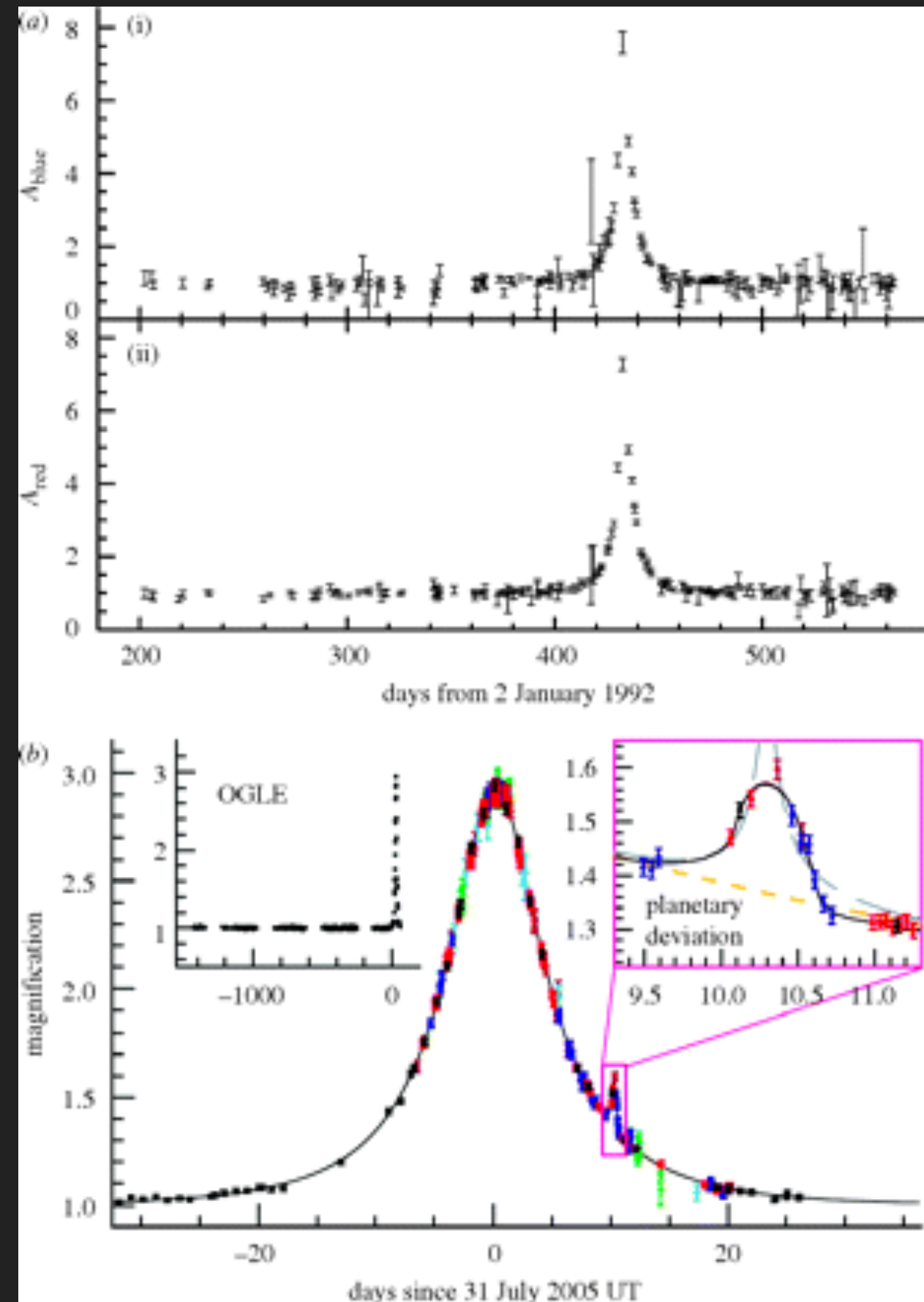
INTRODUÇÃO

- ▶ Não é apenas o caminho da luz que muda: o tempo de "voo" também → *time delays* (B1600+434)



INTRODUÇÃO

- ▶ MACHO: Massive Compact Halo Objects; (b) exoplaneta OGLE 2005-BLG-390LB, Beaulieu et al. 2005



LENTEs EM RELATIVIDADE GERAL (E ALÉM)

- ▶ Luz: geodésicas *nulas*

$$ds_{null}^2 = (1 + 2\Psi)c^2 dt^2 - a^2(t)(1 + 2\Phi)d\vec{x}^2 = 0$$

- ▶ Podemos escrever, com licença poética:

$$c_{null} = \frac{|d\vec{x}|}{dt} = c \left[\frac{1 + 2\Psi}{1 + 2\Phi} \right]^{1/2} \simeq c(1 + \Psi - \Phi)$$

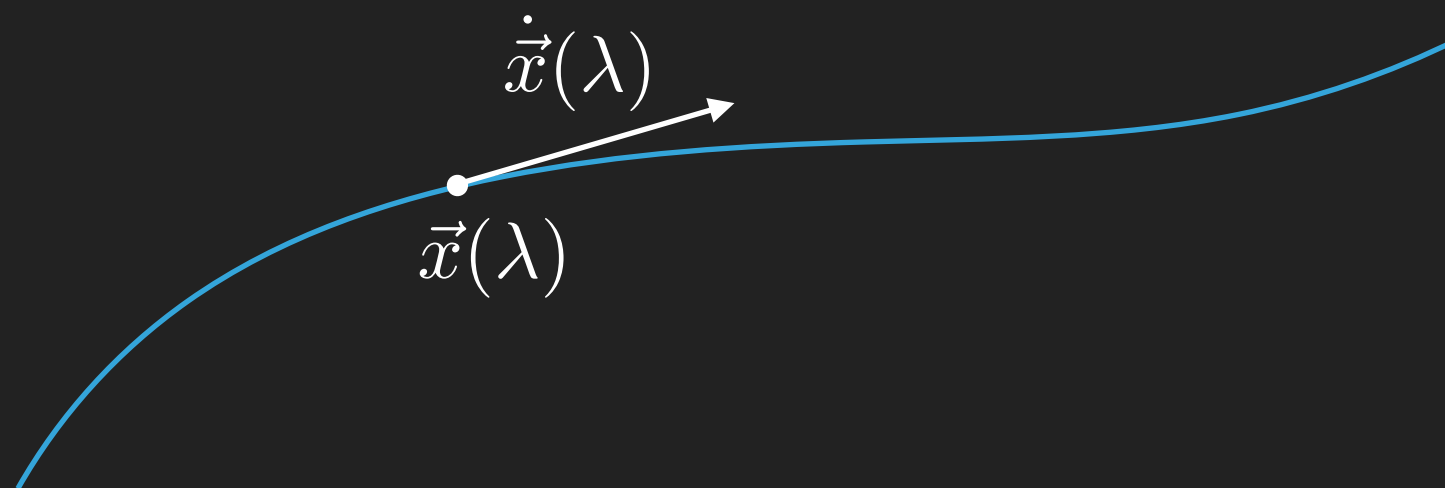
- ▶ Portanto, é como se os potenciais gravitacionais gerassem um “índice de refração”:

$$n_G = \frac{c}{c_{null}} \simeq 1 - \Psi + \Phi$$

LENTES EM RELATIVIDADE GERAL (E ALÉM)

- ▶ Princípio de Fermat: a luz percorre o caminho mais rápido

$$\Delta t \sim \int_A^B n_G[\vec{x}(l)] dl \quad \Rightarrow \quad \delta \left\{ \int_A^B n_G[\vec{x}(l)] dl \right\} = 0$$



- ▶ Caminho ao longo da geodésica: $dl = \left| \frac{d\vec{x}}{d\lambda} \right| d\lambda$

LENTEs EM RELATIVIDADE GERAL (E ALÉM)

- ▶ Princípio variacional:

$$\delta \int d\lambda L(\vec{x}, \dot{\vec{x}}; \lambda) = 0 \qquad L(\vec{x}, \dot{\vec{x}}; \lambda) = n[\vec{x}(\lambda)] \left| \frac{d\vec{x}}{d\lambda} \right|$$

$$\Rightarrow \frac{\partial L}{\partial \vec{x}} - \frac{d}{d\lambda} \frac{\partial L}{\partial \dot{\vec{x}}} = 0 \qquad \Rightarrow \frac{d(n \dot{\vec{x}})}{d\lambda} - \vec{\nabla} n = 0$$

- ▶ A direção de propagação do raio de luz é $\vec{e} \equiv \dot{\vec{x}}$

$$\Rightarrow n \dot{\vec{e}} = \vec{\nabla} n - \vec{e}(\vec{e} \cdot \vec{\nabla} n)$$

- ▶ Mas o último termo do lado direito é a derivada de n na direção paralela ao caminho do raio de luz...

LENTE EM RELATIVIDADE GERAL (E ALÉM)

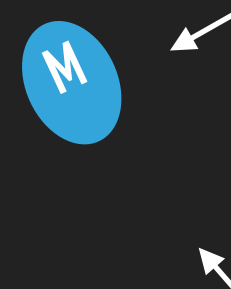
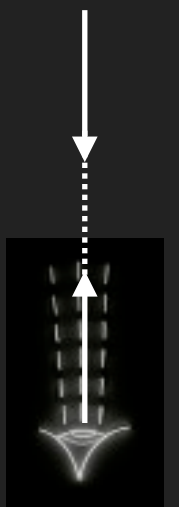
- ▶ Portanto, sobra apenas a derivada de n perpendicular ao caminho do raio de luz:

$$\Rightarrow \dot{\vec{e}} = \frac{1}{n} \vec{\nabla}_{\perp} n$$

- ▶ Mas o índice de refração é: $n = 1 - \Psi + \Phi$
- ▶ Lembre-se também que a linha de visada é $\hat{r} = -\hat{e}$
- ▶ Deflexão integrada ao longo da linha de visada (aprox.

Born:

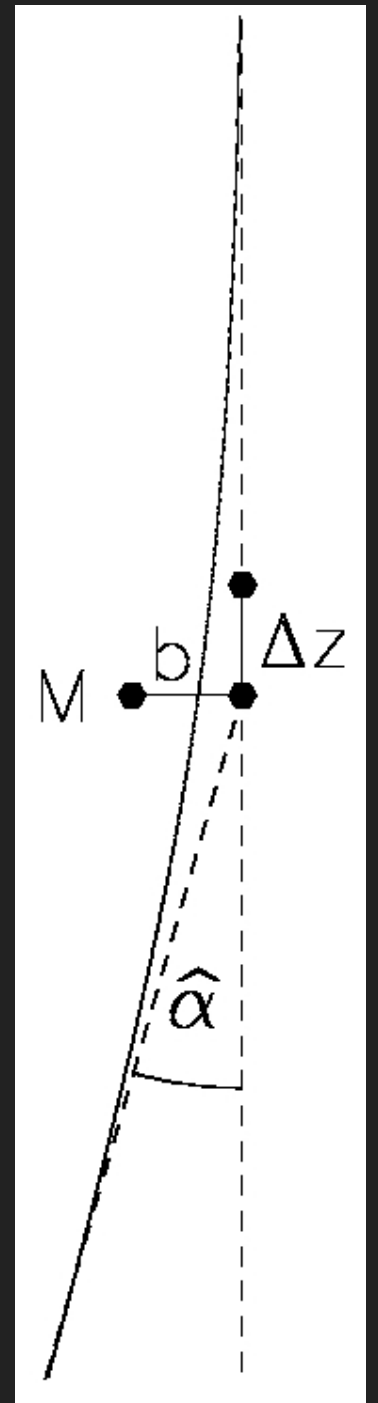
$$\vec{\alpha}_{\perp} = \frac{1}{c^2} \int d\lambda \vec{\nabla}_{\perp} (\Psi - \Phi)$$



LENTE EM RELATIVIDADE GERAL (E ALÉM)

- ▶ Na prática, o efeito da lente gravitacional decai rapidamente com a distância à lente, portanto podemos fazer:

$$\vec{\alpha}_{\perp} = \int_{-\infty}^{\infty} d\lambda \vec{\nabla}_{\perp}(\Psi - \Phi)$$



LENTES EM RELATIVIDADE GERAL (E ALÉM)

► Exemplo: massa pontual $\Psi = -\Phi = -\frac{GM}{c^2 r}$

$$r = (x^2 + y^2 + z^2)^{1/2} = (\rho^2 + z^2)^{1/2}$$

$$\vec{\nabla}_{\perp} \Psi = \begin{pmatrix} \partial_x \Psi \\ \partial_y \Psi \end{pmatrix} = \frac{GM}{c^2 r^3} \begin{pmatrix} x \\ y \end{pmatrix} = \frac{GM \rho}{c^2 r^3} \begin{pmatrix} \cos \varphi \\ \sin \varphi \end{pmatrix}$$

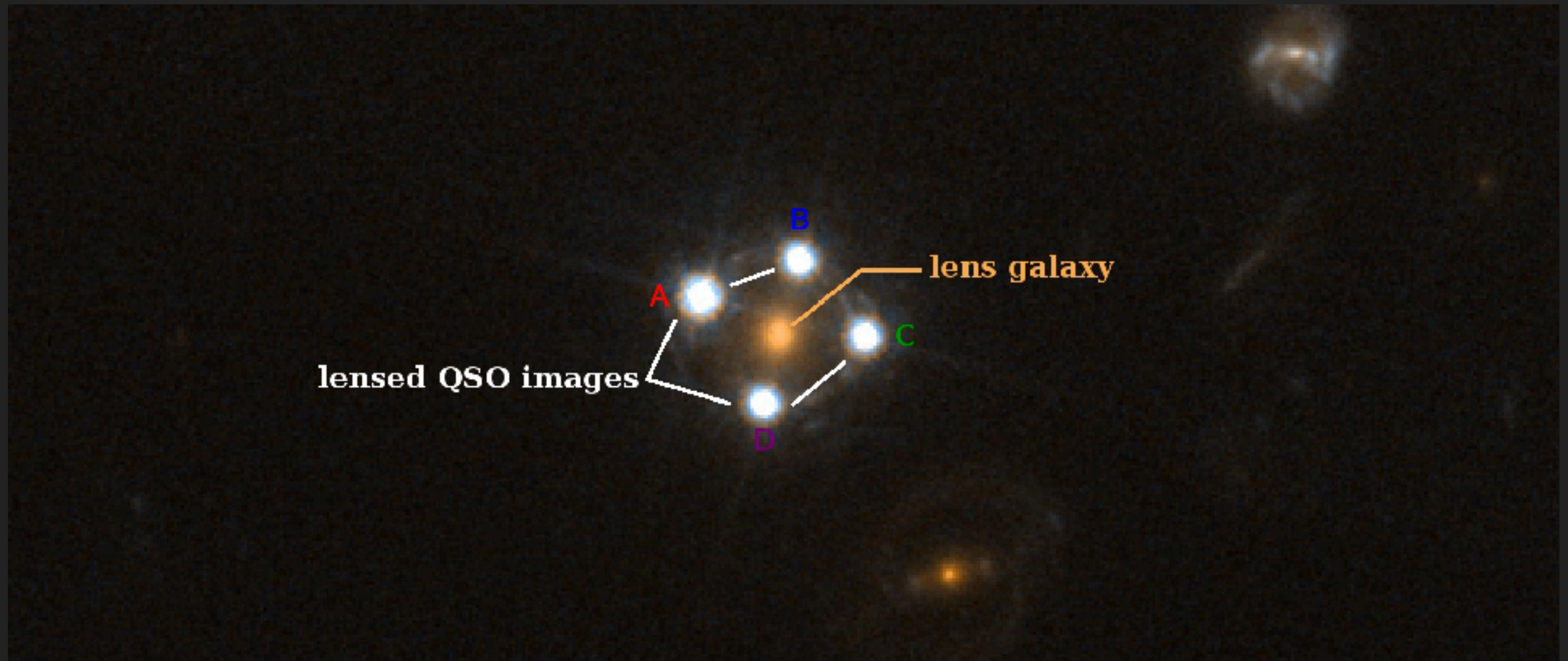
► Integrando em z , temos:

$$|\vec{\alpha}| = \frac{4GM}{c^2 \rho} = \frac{2 R_S(M)}{\rho}$$

[2x resultado Newtoniano]

LENTEs EM RELATIVIDADE GERAL (E ALÉM)

- ▶ Lentes: regime de “lente forte”

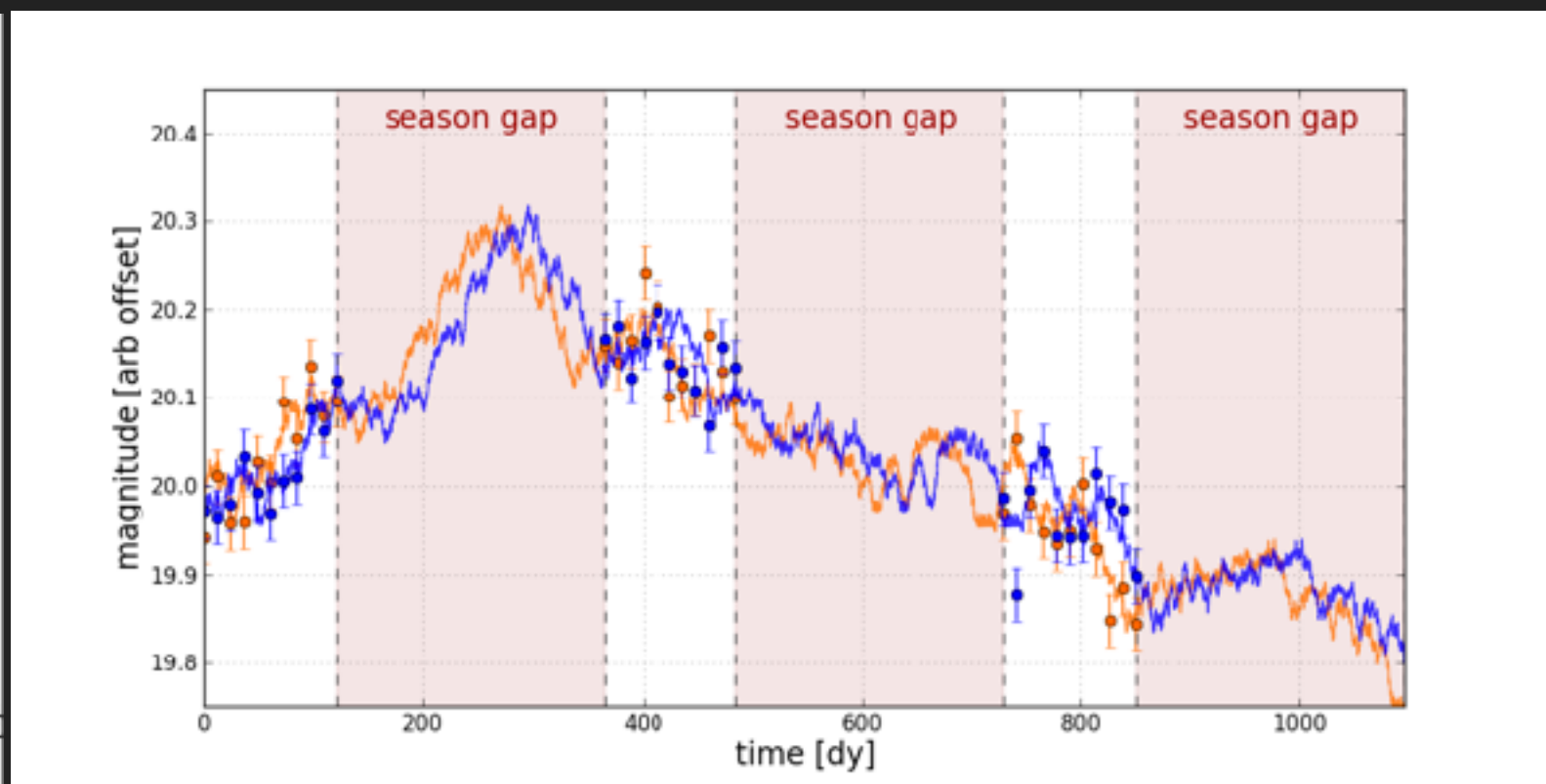
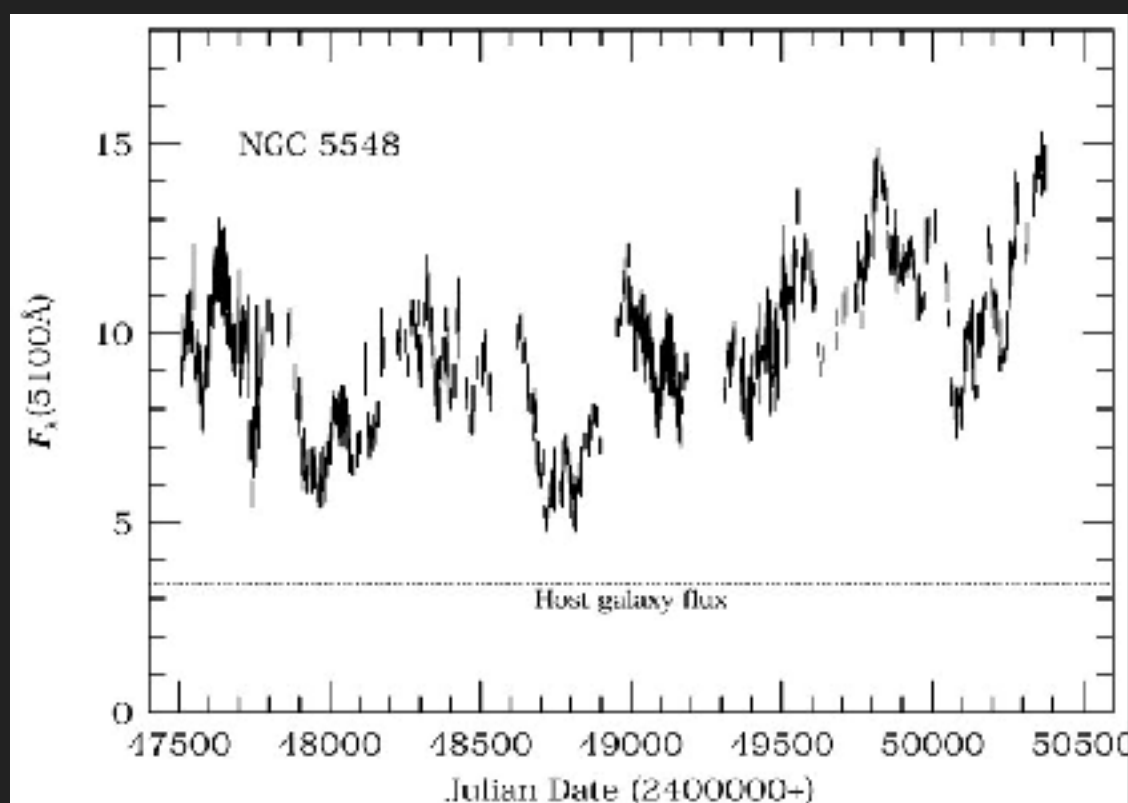


LENTES EM RELATIVIDADE GERAL (E ALÉM)

- ▶ “Shapiro time delays”: o índice de refração já nos dá diretamente o “atraso” do raio de luz,

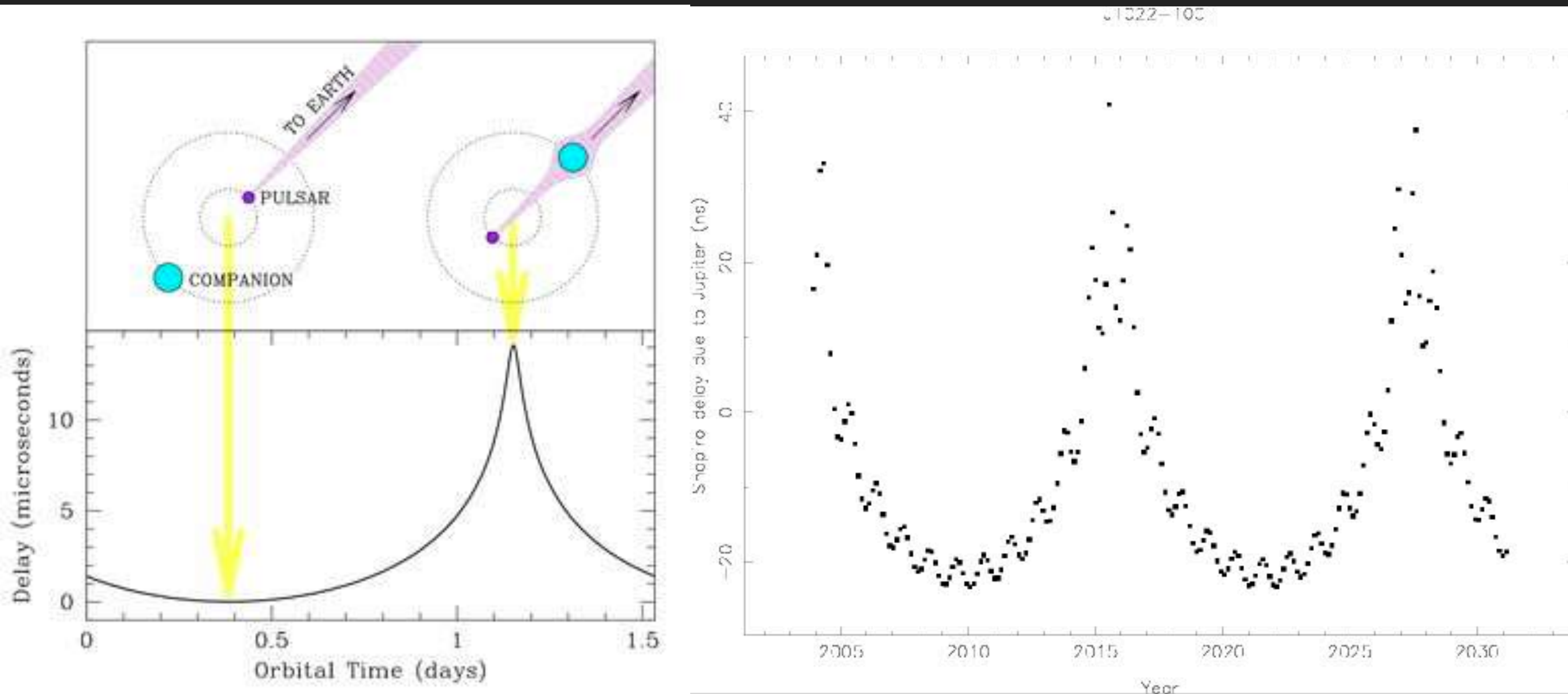
$$\Delta t = \int \frac{dz}{c/n} - \int \frac{dz}{c} = \int \frac{n-1}{c} dz$$

- ▶ Quasares com variabilidade e imagens múltiplas



LENTEs EM RELATIVIDADE GERAL (E ALÉM)

- Milisecond pulsars (J1022+1001)



A EQUAÇÃO DE LENTES

- ▶ Note que a distorção (lente gravitacional) causada por uma massa pontual é *linear* com a massa.
- ▶ Portanto, podemos utilizar muitas massas pontuais (infinitas, no limite do contínuo) para representar qualquer distribuição de massas – desde que o Teorema de Birkhoff permaneça válido

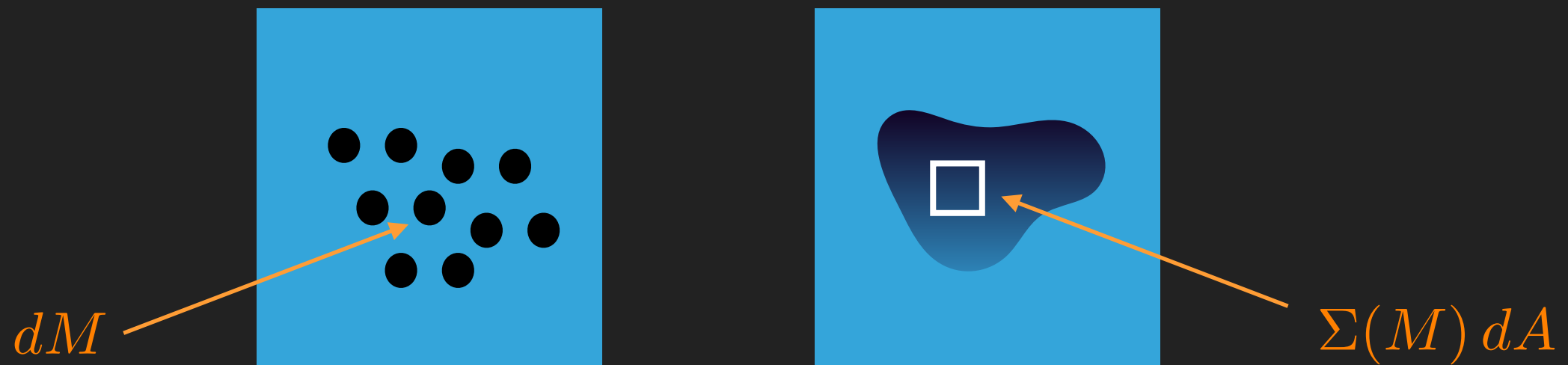
- ▶ Massa pontual: $|\vec{\alpha}| = \frac{4GM}{c^2 \rho} = \frac{2 R_S(M)}{\rho}$

- ▶ N massas pontuais:

$$\vec{\alpha}(\vec{\rho}) = \frac{4G}{c^2} \sum_{i=1}^N \frac{M_i (\vec{\rho} - \vec{\rho}_i)}{|\vec{\rho} - \vec{\rho}_i|^2}$$

A EQUAÇÃO DE LENTES

- ▶ É claro que em geral precisamos lidar com distribuições *contínuas* de massa
- ▶ No caso das massas pontuais, elas seriam equivalentes à densidade superficial de massa multiplicada pela área na superfície:



A EQUAÇÃO DE LENTES

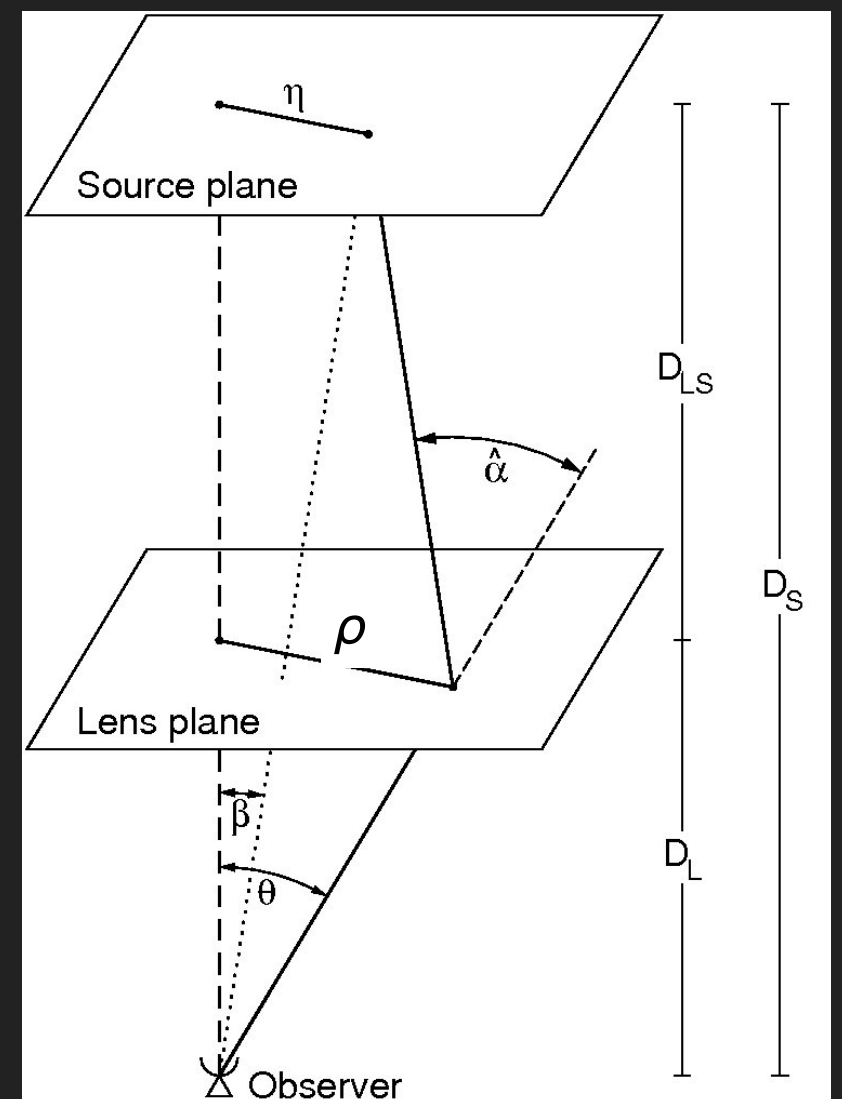
- ▶ Temos, portanto:
$$\vec{\alpha}(\vec{\rho}) = \frac{4G}{c^2} \int d^2\vec{\rho}' \Sigma(\vec{\rho}') \frac{\vec{\rho} - \vec{\rho}'}{|\vec{\rho} - \vec{\rho}'|^2}$$
- ▶ É evidente que essas “distâncias transversais” são descritas, em FRW, em termos da distância angular:

Fonte : $\eta = \beta D_S$

Par. impacto : $\rho = \theta D_L$

- ▶ Equação de lentes (plano da fonte):

$$\vec{\theta} D_S = \vec{\beta} D_S + \vec{\alpha} D_{LS}$$



A EQUAÇÃO DE LENTES

- ▶ Definindo a deflexão reduzida, $\alpha_r = \frac{D_{LS}}{D_S} \alpha$
- ▶ Obtemos a equação de lentes em sua forma mais simples:

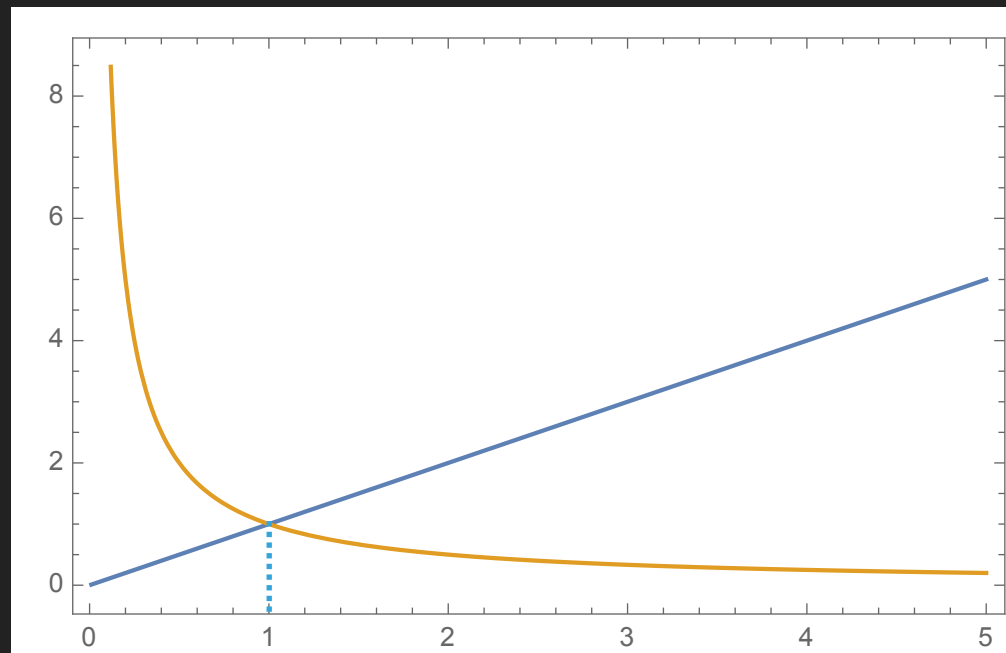
$$\vec{\beta} = \vec{\theta} - \vec{\alpha}_r$$

- ▶ Note que α depende de θ , e é isso que torna o efeito não-trivial.
- ▶ No caso de uma distribuição de massa com simetria axial (só dep. do módulo de ρ), obtemos:

$$\alpha = \frac{4 G M(\rho)}{c^2 \rho} \quad \text{[Exercício!]}$$

A EQUAÇÃO DE LENTES

- ▶ Exemplo simples: massa pontual $\alpha = \frac{4GM}{c^2} \frac{1}{\rho} = \frac{4GM}{c^2} \frac{1}{D_L \theta}$
- ▶ Eq. lentes: $\beta = \theta - \frac{4GM}{c^2} \frac{D_{LS}}{D_S D_L} \frac{1}{\theta}$



$$\theta_E = \sqrt{\frac{4GM}{c^2} \frac{D_{LS}}{D_S D_L}}$$

- ▶ Quando $\beta=0$ os raios de luz são focalizados e a magnificação é máxima: ***Einstein ring***

A EQUAÇÃO DE LENTES

► Einstein ring

$$\theta_E = \sqrt{\frac{4GM}{c^2} \frac{D_{LS}}{D_S D_L}}$$



O POTENCIAL DE LENTES

- ▶ A distribuição de massa determina um potencial gravitacional; a densidade superficial de massa (projetada ao longo da linha de visada) determina um **potencial de lente**:

$$\psi = \frac{D_{LS}}{D_L D_S} \frac{2}{c^2} \int dz \Phi(\vec{\theta} D_L, z)$$

- ▶ O gradiente desse potencial dá o "deslocamento" da imagem no plano da lente:

$$D_L \vec{\nabla}_\perp \psi = \vec{\alpha}_r$$

O POTENCIAL DE LENTES

- ▶ A segunda derivada do potencial nos dá a **convergência**:

$$D_L^2 \nabla_{\perp}^2 \psi = 2 \kappa$$

- ▶ Também podemos escrever a convergência em termos da densidade superficial de massa e da **densidade crítica**:

$$\kappa(\vec{\rho}) = \frac{\Sigma(\vec{\rho})}{\Sigma_{crit}} \quad \Sigma_{crit} = \frac{c^2}{4\pi G} \frac{D_S}{D_L D_{LS}}$$

- ▶ Pode-se também mostrar que:

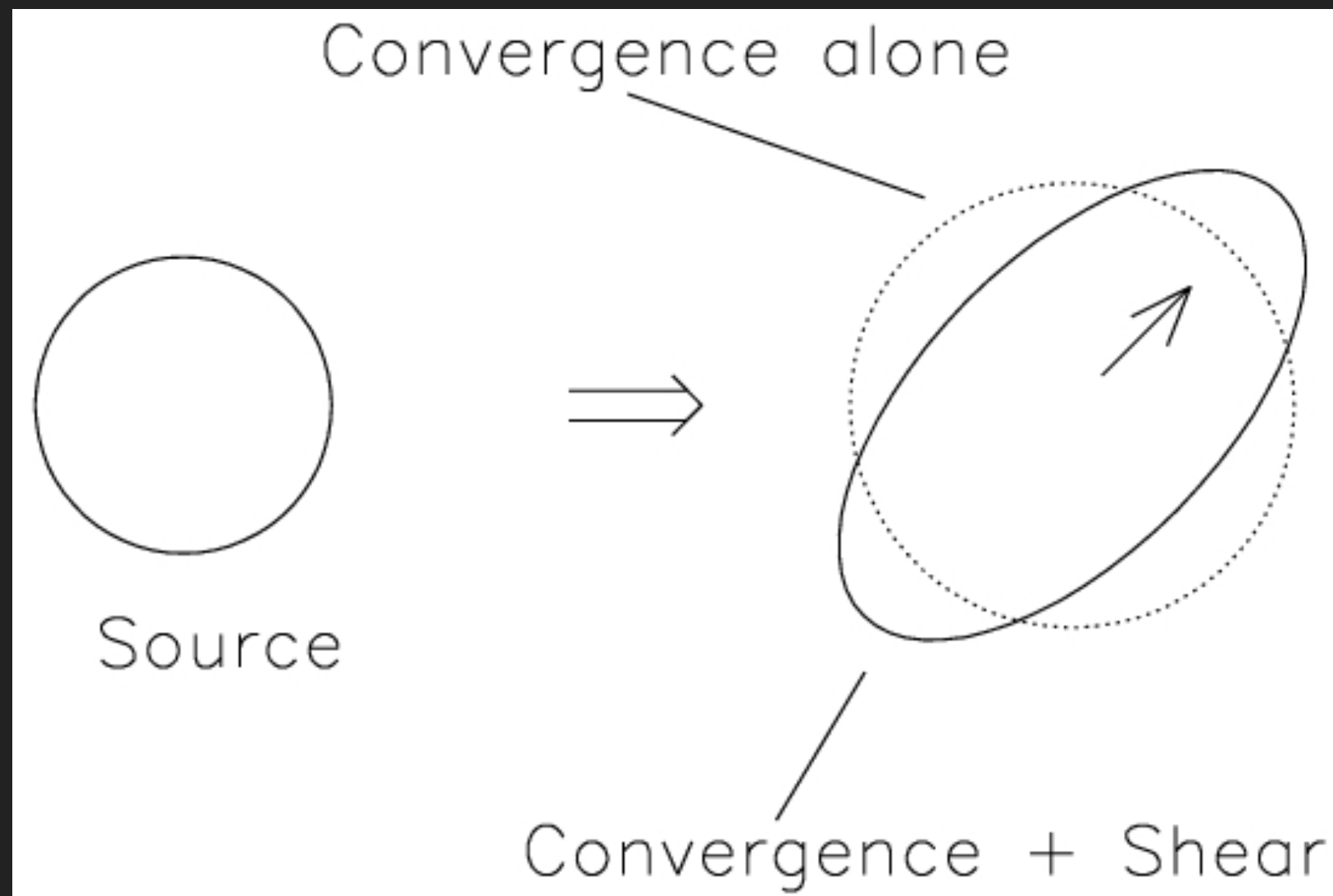
$$\vec{\alpha}_r(\vec{\rho}) = \frac{1}{\pi D_L} \int d^2 \rho \, \kappa(\vec{\rho}') \frac{\vec{\rho} - \vec{\rho}'}{|\vec{\rho} - \vec{\rho}'|}$$

MAGNIFICAÇÃO E DISTORÇÃO

- ▶ Um dos principais efeitos das lentes gravitacionais é a distorção da imagem original:
 - ✦ Lentes fracas: as imagens das galáxias de fundo (fontes) são "achatadas" na direção da lente
 - ✦ Lentes fortes: uma galáxia elíptica ou esférica se torna um arco
- ▶ A distorção ocorre porque há um campo de "maré", que puxa os raios de luz mais numa direção do que na outra

MAGNIFICAÇÃO E DISTORÇÃO

- ▶ Há dois efeitos principais de distorção:



MAGNIFICAÇÃO E DISTORÇÃO

► No plano da lente: $\rho_i \rightarrow \rho^{(im)}_i = \rho^{(f)}_i - D_L \alpha_i$

► Jacobiano: $J_{i,j} = \frac{\partial \rho^{(im)}_i}{\partial \rho^j} = \delta_{ij} - D_L \frac{\partial \alpha_i}{\partial \rho_j}$

► Da discussão anterior, podemos expressar esse Jacobiano em termos do potencial de lente:

$$J_{i,j} = \delta_{ij} - D_L^2 \frac{\partial^2 \psi}{\partial \rho_i \partial \rho_j}$$

MAGNIFICAÇÃO E DISTORÇÃO

- ▶ Essa é uma matriz simétrica. Escrevendo: $\Psi_{ij} = D_L^2 \frac{\partial^2 \psi}{\partial \rho_i \partial \rho_j}$
- ▶ Nesse momento pode-se notar que podemos expressar o Jacobiano da seguinte modo:

$$J = \begin{pmatrix} 1 - \kappa - \gamma_1 & -\gamma_2 \\ -\gamma_2 & 1 - \kappa + \gamma_1 \end{pmatrix}$$

- ▶ Onde:

$\kappa = \frac{1}{2}(\Psi_{11} + \Psi_{22})$

$\gamma_1 = \frac{1}{2}(\Psi_{11} - \Psi_{22})$

$\gamma_2 = \Psi_{12} = \Psi_{21}$

}

Shear

MAGNIFICAÇÃO E DISTORÇÃO

- ▶ A convergência *aumenta* ou *diminui* o tamanho das imagens por um fator, sempre conservando o número de fótons (a "surface brightness")
- ▶ Já o *shear*, distorce as imagens. Sob rotações, ele se transforma como uma "direção sem sentido definido", um "campo de spin 2":

$$Shear = \begin{pmatrix} -\gamma_1 & -\gamma_2 \\ -\gamma_2 & \gamma_1 \end{pmatrix} = -\gamma \begin{pmatrix} \cos 2\phi & \sin 2\phi \\ \sin 2\phi & -\cos 2\phi \end{pmatrix}$$

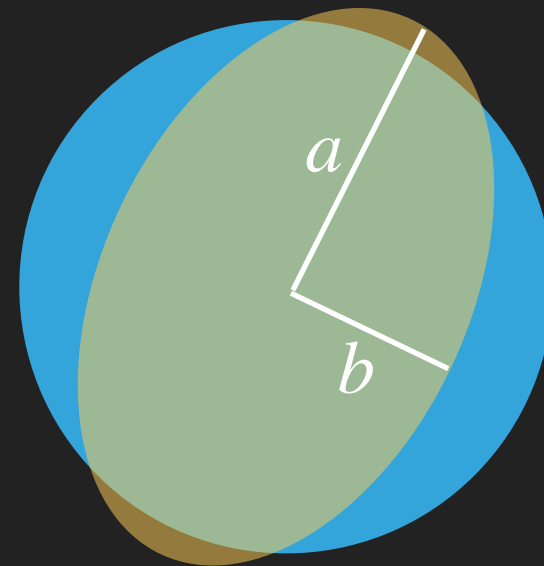
$$\gamma = \pm(\gamma_1^2 + \gamma_2^2)^{1/2}$$

MAGNIFICAÇÃO E DISTORÇÃO

- ▶ Um círculo de raio r , sob a ação do shear e da convergência, se torna uma elipse de semi-eixos:

$$a = \frac{r}{1 - \kappa - \gamma}$$

$$b = \frac{r}{1 - \kappa + \gamma}$$



- ▶ A magnificação é dada pelo inverso do determinante do Jacobiano:

MAGNIFICAÇÃO E DISTORÇÃO

- ▶ A magnificação é dada pelo inverso do determinante do Jacobiano:

$$\mu = \frac{1}{\det J} = \frac{1}{(1 - \kappa)^2 - \gamma^2}$$

- ▶ Os auto-valores do tensor de magnificação $M = J^{-1}$, determinam as linhas críticas, tangenciais e radiais:

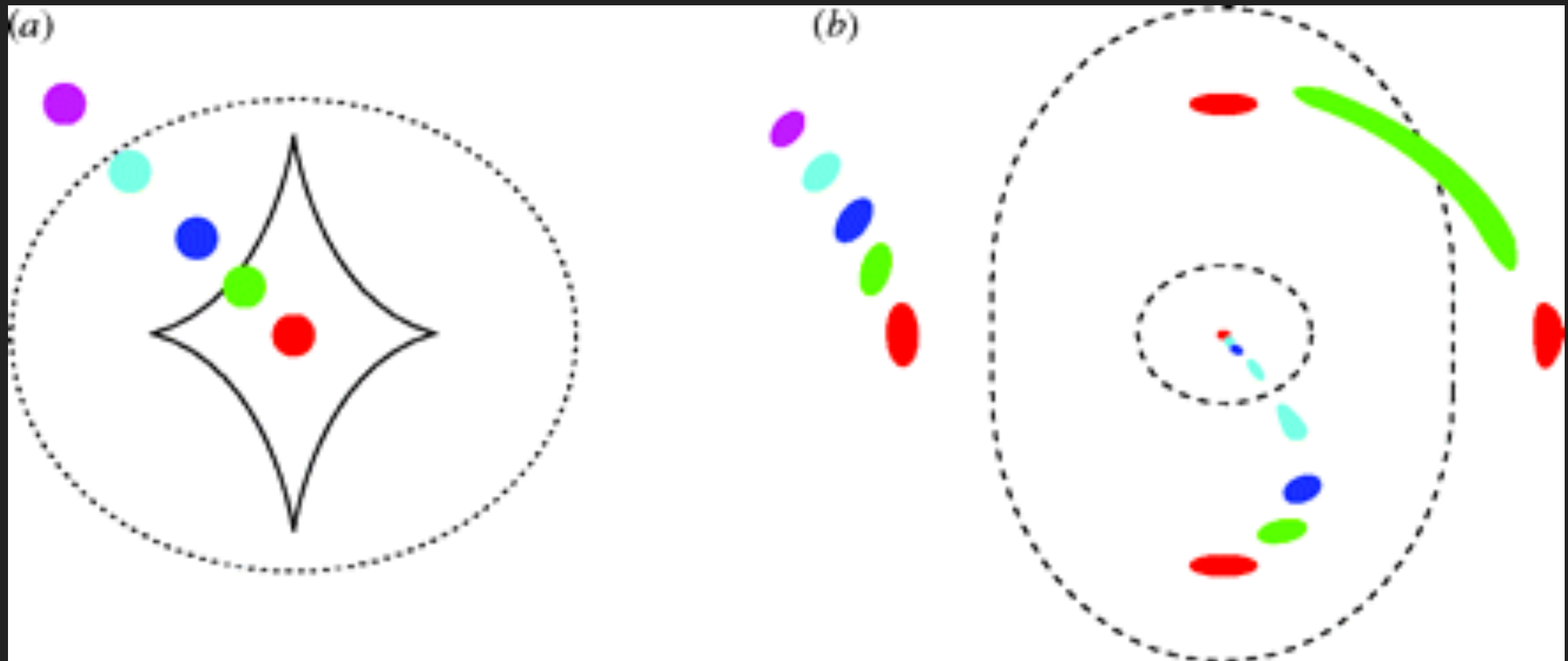
$$\mu_t = \frac{1}{1 - \kappa - \gamma}$$

$$\mu_r = \frac{1}{1 - \kappa + \gamma}$$

- ▶ Idealmente, a magnificação é máxima quando as duas linhas críticas se cruzam

MAGNIFICAÇÃO E DISTORÇÃO

► Linhas críticas



Plano da fonte

Plano da imagem

MAGNIFICAÇÃO E DISTORÇÃO

- ▶ Limite de lentes fracas: cosmic shear

